



Universität Stuttgart
Institut für
Maschinelle Sprachverarbeitung

Probabilistische Graphische Modelle in einer Neuronalen Welt

Wie können zwei Paradigmen vereint werden?

Mündliche Habilitationsleistung

17. Juli 2020

Roman Klinger
roman.klinger@ims.uni-stuttgart.de

 [@roman_klinger](https://twitter.com/roman_klinger)  [romanklinger](https://www.linkedin.com/in/romanklinger)
<http://www.romanklinger.de/>



Outline

1 Einführung und Motivation

2 Methodischer Überblick

- Probabilistische Graphische Modelle (PGM)
- Künstliche Neuronale Netze (KNN)

3 Verhältnis von PGM und KNN

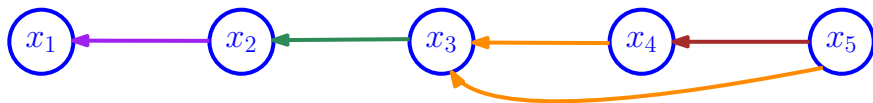
- Propagierungsalgorithmen
- Verwandtschaft der Formulierungen
- Hidden CRF

4 Integration von KNN in PGM

- Fallstudien
- Werkzeuge

5 Zusammenfassung und Ausblick

Gerichtete Probabilistische Graphische Modelle: Unabhängigkeitsannahmen



$$p(x_1, x_2, x_3, x_4, x_5) = p(x_1|x_2) \cdot p(x_2|x_3) \cdot p(x_3|x_4, x_5) \cdot p(x_4|x_5) \cdot p(x_5)$$

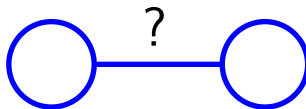
- Erinnerung: Wir nutzen den graphischen Formalismus um Aussagen über Annahmen in der Wahrscheinlichkeitsverteilung zu machen.

Definition: Gerichtetes Graphisches Modell

Ein gerichtetes graphisches Modell, oder **Bayesisches Netzwerk**:

- ist ein gerichteter azyklischer Graph
 - **Knoten** entsprechen **Variablen**
- Jeder Knoten hat eine **bedingte Wahrscheinlichkeitsverteilung**: $p(x_i \mid \text{Eltern}(x_i))$
- Das Netzwerk stellt dann eine gemeinsame Wahrscheinlichkeitsverteilung dar:

$$p(x_1, \dots, x_n) = \prod_i p(x_i \mid \text{Eltern}(x_i))$$

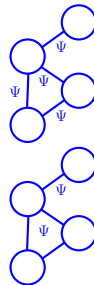


Definition: Ungerichtete Probabilistische Graphische Modelle

- Ein **paarweises Markov-Netzwerk** ist ein **ungerichteter Graph** mit Knoten, welche Variablen x_1, \dots, x_n darstellen
 - Kante $E = (x_i, x_j)$ ist mit **Potentialfunktion** $\Psi(x_i, x_j)$ verknüpft
- Ein **Markov-Netzwerk** G mit **Cliquen-Faktorisierung** hat Potenzialfunktionen welche (maximalen) Cliquen entsprechen

$$p(\vec{x}) = \frac{1}{Z} \prod_{C \in \text{cliques}(G)} \Psi_C(\vec{x}_C)$$

- Typische Formulierung von Potentialfunktionen:
$$\Psi_i(\vec{x}) = \exp(\sum_j \lambda_j f_j(\vec{x}))$$



(Koller/Friedman 2010)

Conditional Random Field als Faktorgraph

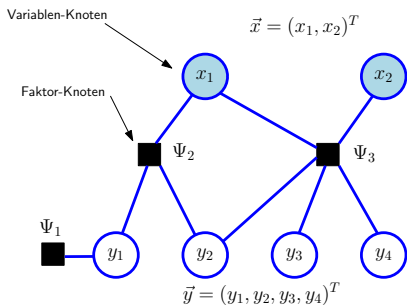
Conditional Random Field: Markovnetzwerk mit zusätzlichen, immer bekannten Parametern.

- Faktor Ψ_i berechnet ein Skalar
- Seien \vec{x} Eingabe- und \vec{y} Ausgabevariablen

$$\Psi_i(\vec{x}_i, \vec{y}_i) = \exp\left(\sum_k \lambda_{ki} f_{ki}(\vec{x}_i, \vec{y}_i)\right)$$

- Wahrscheinlichkeitsverteilung:

$$p(\vec{y}|\vec{x}) = \frac{1}{Z(\vec{x})} \prod_i \Psi_i(\vec{x}_i, \vec{y}_i)$$



Lernen und Inferenz

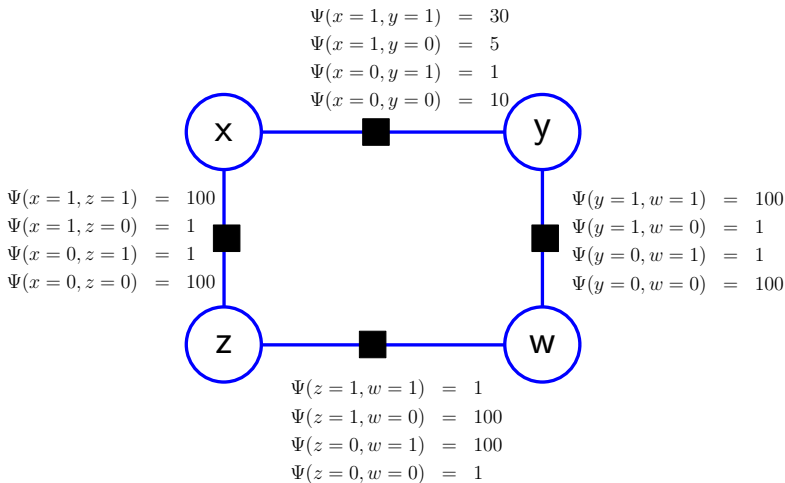
Lernen

- **Gerichtete Modelle:** Bestimmung der bedingten Wahrscheinlichkeiten durch Abzählen in Trainingsdaten \mathcal{D}
- **Ungerichtete Modelle:** Iterative Maximierung von $\log \sum_{\vec{x} \in \mathcal{D}} p_{\vec{\lambda}}(\vec{x})$

Inferenzaufgaben

- Berechnen von Wahrscheinlichkeitsverteilungen einzelner Teilmengen von Knoten: **Sum-Product-Algorithm** (später, Spezialfall: Forward-Backward)
- Berechnen der Belegung, welche die Gesamtwahrscheinlichkeit maximiert: **Max-Product-Algorithm** (Spezialfall: Viterbi, kleine Variation zu Sum-Product)
- \Rightarrow **Belief-Propagation**

Beispielfaktorgraph



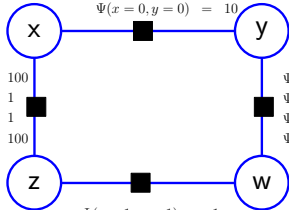
Beispielfaktorgraph

$$\Psi(x = 1, y = 1) = 30$$

$$\Psi(x = 1, y = 0) = 5$$

$$\Psi(x = 0, y = 1) = 1$$

$$\Psi(x = 0, y = 0) = 10$$



$$\Psi(x = 1, z = 1) = 100$$

$$\Psi(x = 1, z = 0) = 1$$

$$\Psi(x = 0, z = 1) = 1$$

$$\Psi(x = 0, z = 0) = 100$$

$$\Psi(y = 1, w = 1) = 100$$

$$\Psi(y = 1, w = 0) = 1$$

$$\Psi(y = 0, w = 1) = 1$$

$$\Psi(y = 0, w = 0) = 100$$

$$\Psi(z = 1, w = 1) = 1$$

$$\Psi(z = 1, w = 0) = 100$$

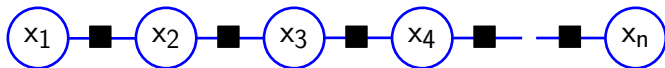
$$\Psi(z = 0, w = 1) = 100$$

$$\Psi(z = 0, w = 0) = 1$$

Werte

Variablenbelegung				Wert	Wahrscheinlichkeit
x	y	z	w		
0	0	0	0	100000	0.0159445
0	0	0	1	100000	0.0159445
0	0	1	0	100000	0.0159445
0	0	1	1	10	0.0000016
0	1	0	0	10000	0.0015945
0	1	0	1	10000	0.0015945
0	1	1	0	100	0.0000159
0	1	1	1	100	0.0000159
1	0	0	0	500	0.0000797
1	0	0	0	500	0.0000797
1	0	0	1	500	0.0000797
1	0	1	0	5000000	0.7972269
1	0	1	1	50000	0.0079723
1	1	0	0	30	0.0000048
1	1	0	1	300000	0.0478336
1	1	1	0	300000	0.0478336
1	1	1	1	300000	0.0478336

Inferenz auf einer Kette (I)



- $p(\vec{x}) = \frac{1}{Z} \Psi_{1,2}(x_1, x_2) \Psi_{2,3}(x_2, x_3) \cdots \Psi_{n-1,n}(x_{n-1}, x_n)$
- Annahme: Variablen können k diskrete Werte annehmen
- Jede Potentialfunktion hat also k^2 Parameter
- Anzahl aller Parameter für die gemeinsame Verteilung entsprechend der Faktoren:
 $(n-1)k^2$
- Inferenz der Randverteilung durch Aussummieren von x_i :

$$p(x_i) = \sum_{x_1} \cdots \sum_{x_{i-1}} \sum_{x_{i+1}} \cdots \sum_{x_n} p(\vec{x})$$

- k^n Werte für \vec{x} – schade.

Inferenz auf einer Kette (II)

- $p(\vec{x}) = \frac{1}{Z} \Psi_{1,2}(x_1, x_2) \Psi_{2,3}(x_2, x_3) \cdots \Psi_{n-1,n}(x_{n-1}, x_n)$
- $p(x_i) = \sum_{x_1} \cdots \sum_{x_{i-1}} \sum_{x_{i+1}} \cdots \sum_{x_n} p(\vec{x})$

Idee: Umsortieren dieser Berechnung:

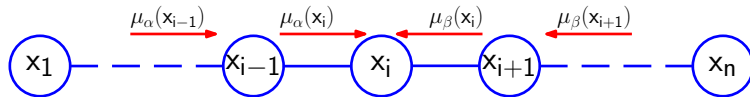
$$p(x_i) = \frac{1}{Z} \cdot$$

$$\left[\sum_{x_{i-1}} \Psi_{i-1,i}(x_{i-1}, x_i) \cdots \left[\sum_{x_2} \Psi_{2,3}(x_2, x_3) \left[\sum_{x_1} \Psi_{1,2}(x_1, x_2) \right] \right] \cdots \right] \cdot \left[\sum_{x_{i+1}} \Psi_{i,i+1}(x_i, x_{i+1}) \cdots \left[\sum_{x_n} \Psi_{n-1,n}(x_{n-1}, x_n) \right] \cdots \right]$$

$\Rightarrow O(nk^2)$ Berechnungen, wie wir gleich sehen werden.

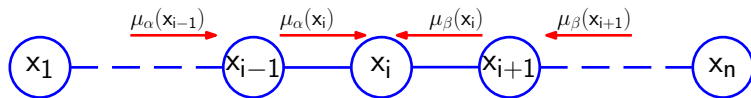
Inferenz auf einer Kette (III)

$$p(x_i) = \frac{1}{Z} \cdot \underbrace{\left[\sum_{x_{i-1}} \Psi_{i-1,i}(x_{i-1}, x_i) \cdots \left[\sum_{x_2} \Psi_{2,3}(x_2, x_3) \left[\sum_{x_1} \Psi_{1,2}(x_1, x_2) \right] \right] \cdots \right]}_{\mu_\alpha(x_i)} \cdot \underbrace{\left[\sum_{x_{i+1}} \Psi_{i,i+1}(x_i, x_{i+1}) \cdots \left[\sum_{x_n} \Psi_{n-1,n}(x_{n-1}, x_n) \right] \cdots \right]}_{\mu_\beta(x_i)}$$



- Jede Nachricht ist eine Menge von k Werten
- Eine Wahrscheinlichkeit für jeden Wert

Inferenz auf einer Kette (IV)



Rekursive Evaluation von Nachrichten:

- $\mu_\alpha(x_i) = \sum_{x_{i-1}} \Psi_{i-1,i}(x_{i-1}, x_i) \left[\sum_{x_{i-2}} \dots \right] = \sum_{x_{i-1}} \Psi_{i-1,i}(x_{i-1}, x_i) \mu_\alpha(x_{i-1})$
- Erste Evaluation: $\mu_\alpha(x_2) = \sum_{x_1} \Psi_{1,2}(x_1, x_2)$
- $\mu_\beta(x_i) = \sum_{x_{i+1}} \Psi_{i+1,i}(x_{i+1}, x_i) \left[\sum_{x_{i+2}} \dots \right] = \sum_{x_{i+1}} \Psi_{i+1,i}(x_{i+1}, x_i) \mu_\beta(x_{i+1})$

Stand der Dinge

- Probabilistische Graphische Modelle stellen **Unabhängigkeitsannahmen über Wahrscheinlichkeitsverteilungen** dar
- **Inferenz ist effizient**, wenn Graph ein **Baum** ist
- Bei **beliebigen Graphen** ist Inferenz **NP schwer**:
Approximationsalgorithmen und **Samplingverfahren** existieren

Outline

1 Einführung und Motivation

2 Methodischer Überblick

- Probabilistische Graphische Modelle (PGM)
- Künstliche Neuronale Netze (KNN)

3 Verhältnis von PGM und KNN

- Propagierungsalgorithmen
- Verwandtschaft der Formulierungen
- Hidden CRF

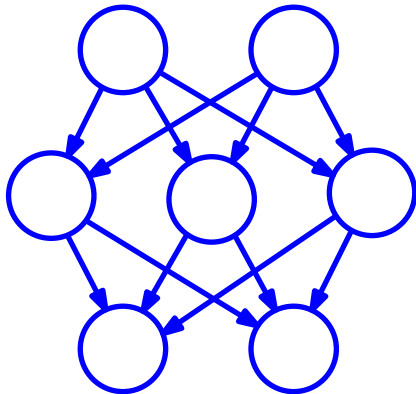
4 Integration von KNN in PGM

- Fallstudien
- Werkzeuge

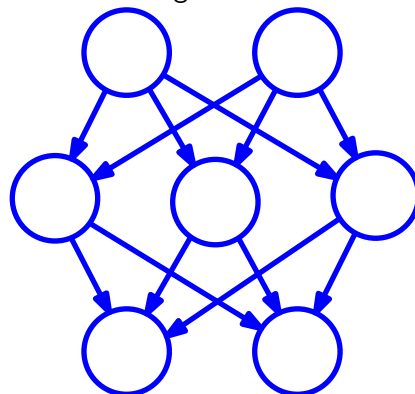
5 Zusammenfassung und Ausblick

Probabilistische Graphische Modelle und Neuronale Netze

Beide Modelle werden oft als Netzwerk von Knoten mit Kanten dargestellt

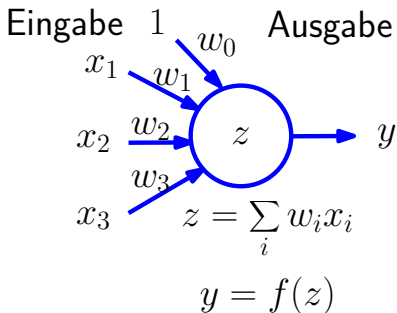


Directed Probabilistic Graphical Model



Feed-forward Neural Network

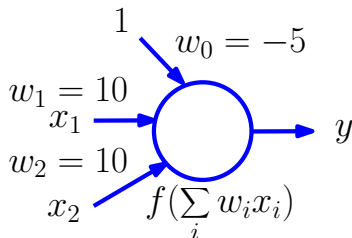
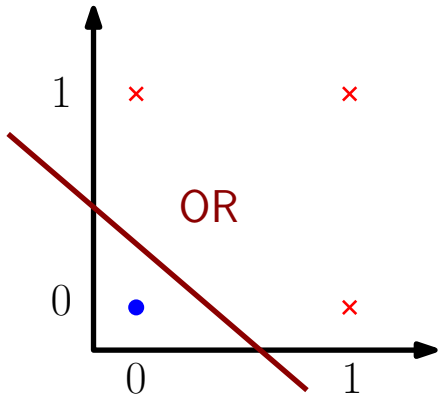
Ein sehr einfaches künstliches neuronales “Netzwerk”



$$f\left(\sum_i w_i x_i\right) = y$$

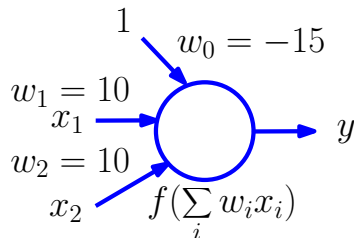
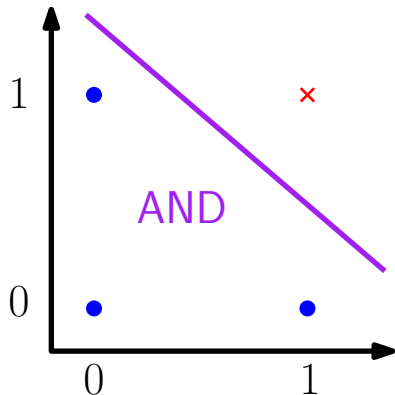
- $z = \sum_i w_i x_i$: interner Zustand
- $f(\cdot)$ Aktivierungsfunktion
(z.B. linear, tanh, sigmoid, ReLU)

ODER mit einem Neuron



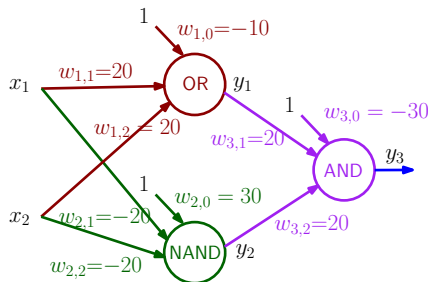
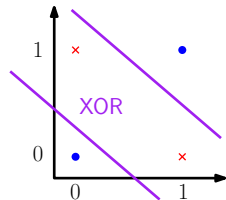
x_1	x_2	$\sum w_i x_i$	Sigmoid
0	0	-5	0.007
0	1	5	0.993
1	0	5	0.993
1	1	15	0.999

UND mit einem Neuron



x_1	x_2	$\sum w_i x_i$	Sigmoid
0	0	-15	0.000
0	1	-5	0.007
1	0	-5	0.007
1	1	5	0.993

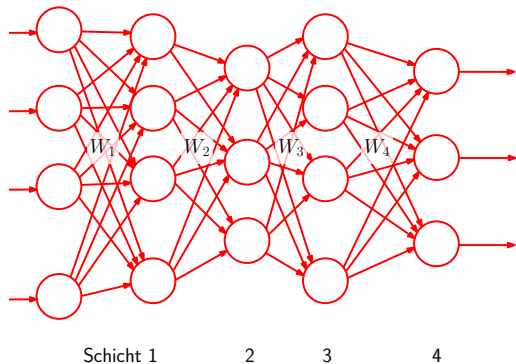
ENTWEDER-ODER als Netzwerk von UND, NUND, und ODER



x_1	x_2	$\sum x_i w_{1,i}$	y_1	$\sum x_i w_{2,i}$	y_2	$\sum x_i w_{3,i}$	y_3
0	0	-10	≈ 0	30	≈ 1	≈ -10	≈ 0
0	1	10	≈ 1	10	≈ 1	≈ 10	≈ 1
1	0	10	≈ 1	10	≈ 1	≈ 10	≈ 1
1	1	30	≈ 1	-10	≈ 0	≈ -10	≈ 0

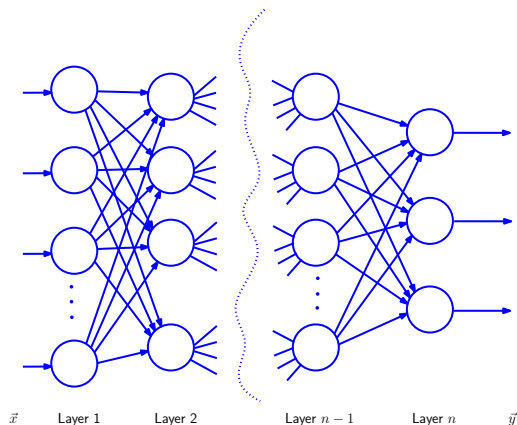
- $\text{XOR} = \text{AND}(\text{OR}(x_1, x_2), \text{NAND}(x_1, x_2))$

Semantik von vorwärtsgerichteten Neuronalen Netzen



- Feed-forward Neuronal Network stellt eine Funktionskomposition dar
- $\vec{y} = f_4(\vec{f}_3(\vec{f}_2(\vec{f}_1(\vec{x}, W_1), W_2), W_3), W_4)$
- Vorwärtspropagierung durch das Netz: Ebenenweise Berechnung der jeweiligen Ausgabewerte

Inferenz und Lernen



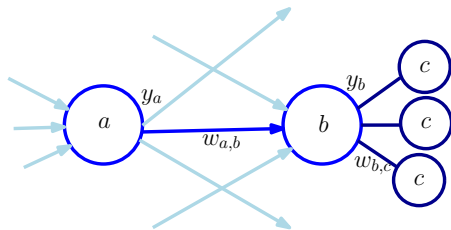
- **Inferenz:** Forward Propagation, berechne Ergebnisse Ebene für Ebene
- **Lernen:** Gewichtsanzpassung durch Minimierung eines Fehlers der Vorhersage auf Trainingsdaten:

$$E(\mathbf{W}, \mathcal{D}) = \sum_{\vec{x}, \vec{y}^* \in \mathcal{D}} \frac{1}{2} \|\vec{y}(\vec{x}, \mathbf{W}) - \vec{y}^*\|^2$$
- Minimierung durch Gradientenabstieg, Berechnung des Gradienten: Backpropagation

(Bishop 2006)

Backpropagation

- $w_{a,b}^t = w_{a,b}^{t-1} + \alpha \cdot \delta_b \cdot y_a$
 - $w_{a,b}$: Gewicht von Neuron a zu Neuron b
 - a : Neuron in Schicht i
 - b : Neuron in Schicht $i + 1$
 - y_a : Ausgabe von Neuron a



- Lokale Gradienten δ_b :
 - $\delta_b = \begin{cases} (y_b^* - y_b) \cdot f'(z_b) & \text{wenn } b \text{ in Ebene } n \\ (\sum_{c \in \text{Succ}(b)} (\delta_c \cdot w_{b,c})) \cdot f'(z_b) & \text{sonst.} \end{cases}$
 - z_b : interner Zustand von b
 - Rekursive Berechnung

Stand der Dinge

- **KNN** stellen **Funktionskompositionen** dar
- **Berechnung der Ausgabe**: Vorwärtspropagierung
- **Lernen**: Gradientenabstieg, Backpropagation
- Komplexe Zusammenhänge durch latente Variablen lernbar

Outline

1 Einführung und Motivation

2 Methodischer Überblick

- Probabilistische Graphische Modelle (PGM)
- Künstliche Neuronale Netze (KNN)

3 Verhältnis von PGM und KNN

- Propagierungsalgorithmen
- Verwandtschaft der Formulierungen
- Hidden CRF

4 Integration von KNN in PGM

- Fallstudien
- Werkzeuge

5 Zusammenfassung und Ausblick

Vergleich der Propagierungsalgorithmen

	Modell-Paradigma	
Aufgabe	PGM	FF-KNN
Inferenz	Belief Propagation (Max-Product, Max-Sum)	Vorwärtspropagierung
Lernen	Zählen, Gradientenaufstieg (Normalisierungsberechnung: Max-Product)	Gradientenabstieg (Gradientenbestimmung: Backpropagation)

Ist Belief Propagation das Gleiche wie Backpropagation?

Nein.

Unterschiede:

- Belief Propagation:
Inferenz entsprechend Struktur des graphischen Modells
- Backpropagation:
Berechnung von Gradienten entsprechend eines Fehlers in der Ausgabe

Aber:

- Es existieren Arbeiten, die die Verfahren aufeinander abbilden.
(Eisner, 2016; Dauwels, 2005; Dauwels, 2006)
- Diese Arbeiten führen nicht zu einer Gleichstellung von PGMs und KNNs.

Outline

1 Einführung und Motivation

2 Methodischer Überblick

- Probabilistische Graphische Modelle (PGM)
- Künstliche Neuronale Netze (KNN)

3 Verhältnis von PGM und KNN

- Propagierungsalgorithmen
- Verwandtschaft der Formulierungen
- Hidden CRF

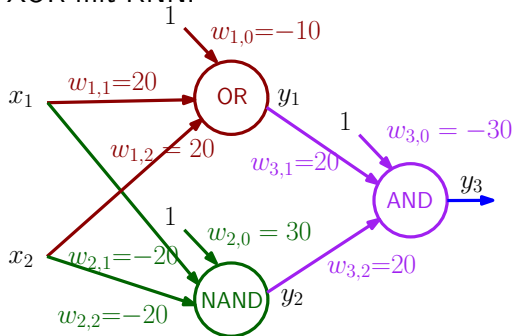
4 Integration von KNN in PGM

- Fallstudien
- Werkzeuge

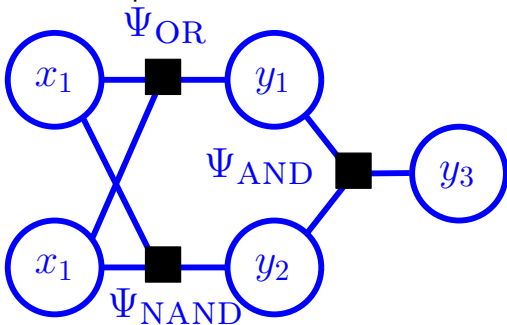
5 Zusammenfassung und Ausblick

Sind KNN und PGM verwandt? Beispiel: XOR

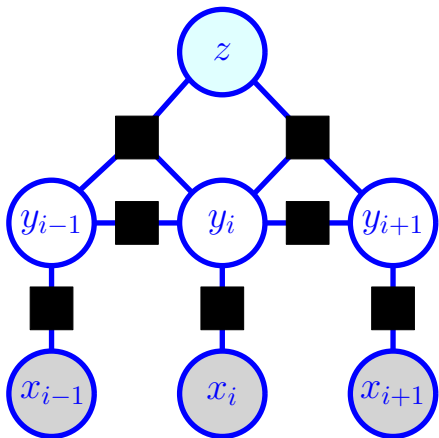
- XOR mit KNN:



- Faktor-Graph-Idee 1:



Probabilistisches Modell mit latenten Variablen: Hidden CRF



- Eingabevariablen x
(immer beobachtbar)
 - Ausgabevariablen z
(zum Trainingszeitpunkt beobachtbar)
 - Ausgabevariablen y
(niemals beobachtbar)
- ⇒ Vergleichbare Situation zu Feed-Forward Neural Networks
- Semantik der latenten Variablen ist aber vordefiniert.
- Training: Gradientaufstieg (aber nicht konvex) oder Expectation Maximization

(Quattoni, 2007; Tackstrom, 2011)

Outline

1 Einführung und Motivation

2 Methodischer Überblick

- Probabilistische Graphische Modelle (PGM)
- Künstliche Neuronale Netze (KNN)

3 Verhältnis von PGM und KNN

- Propagierungsalgorithmen
- Verwandtschaft der Formulierungen
- Hidden CRF

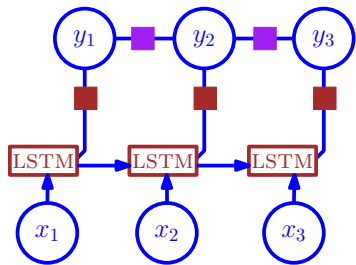
4 Integration von KNN in PGM

- Fallstudien
- Werkzeuge

5 Zusammenfassung und Ausblick

LSTM-CRF

Idee: Modelliere Eigenschaften der Ausgabevariablen mit einem PGM, nutze flexibles RNN um Dateneigenschaften zu lernen.



- Standard linear-chain CRF:

$$p(\vec{y} | \vec{x}) = \frac{1}{Z(\vec{x})} \prod_i \exp\left(\sum_j \lambda_j f_j(y_{i-1}, y_i, \vec{x}, i)\right)$$

- Andere Formulierung:

$$p(\vec{y} | \vec{x}) = \frac{1}{Z(\vec{x})} \cdot \prod_i \exp\left(\sum_j \lambda_j f(y_{i-1}, y_i)\right) \cdot \prod_i \exp\left(\sum_j \lambda_j f(\vec{x}, y_i, i)\right)$$

- Ersetze datenbezogenes Log-lineares Modell durch LSTM:

$$p(\vec{y} | \vec{x}) = \frac{1}{Z(\vec{x})} \cdot \prod_i \exp\left(\sum_j \lambda_j f(y_{i-1}, y_i)\right) \cdot \prod_i \text{LSTM}(\vec{x}_i, y_i)$$

Dies ist ein **etabliertes Modell**.

LSTM-CRF Anwendungsbeispiele (2)

2D-Variante: Bildsegmentierung (Zheng et al., 2015)



Original image (hover to highlight segmented parts)



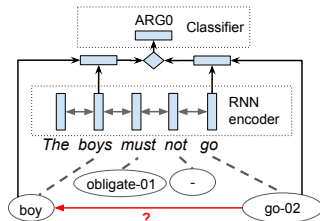
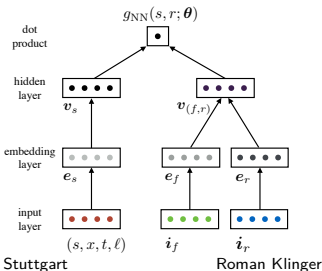
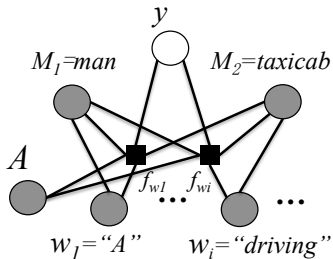
Semantic segmentation

Verbesserungen insbesondere bei filigranen Strukturen

(<http://www.robots.ox.ac.uk/~szheng/crfasrnn demo/>)

Relationserkennung in Text

- Relationserkennung: Integration von neuronalen Netzen mit Merkmalen (Gormley, 2015)
- SRL: Prädikate und Rollen werden durch neuronale Faktoren bewertet (FitzGerald, 2015)
- AMR Parsing: Integration von Konzepterkennung und Relationserkennung in gemeinsamem Model (Lyu, 2018)



Outline

1 Einführung und Motivation

2 Methodischer Überblick

- Probabilistische Graphische Modelle (PGM)
- Künstliche Neuronale Netze (KNN)

3 Verhältnis von PGM und KNN

- Propagierungsalgorithmen
- Verwandtschaft der Formulierungen
- Hidden CRF

4 Integration von KNN in PGM

- Fallstudien
- Werkzeuge

5 Zusammenfassung und Ausblick

Outline

1 Einführung und Motivation

2 Methodischer Überblick

- Probabilistische Graphische Modelle (PGM)
- Künstliche Neuronale Netze (KNN)

3 Verhältnis von PGM und KNN

- Propagierungsalgorithmen
- Verwandtschaft der Formulierungen
- Hidden CRF

4 Integration von KNN in PGM

- Fallstudien
- Werkzeuge

5 Zusammenfassung und Ausblick

Diskussion

- Software zur Nutzung bestimmter PGM-Strukturen existiert
- PGMs mit flexiblen Strukturen können mit Hilfe von verschiedenen Sprachen definiert werden:
 - Deklarative Faktorgraphen: FACTORIE (McCallum, 2010)
 - Markov-Logik: Alchemy (Richardson, Domingos, 2006) und Markov thebeast (Riedel, 2008)
 - Infer.Net/CSoft von Microsoft

⇒ Keiner dieser Ansätze hat auch nur annähernd den Erfolg von KNN
- Software zur Nutzung bestimmter PGM-Strukturen mit KNN existiert
 - Torch-Struct, LP-SparseMAP, CRF-Layer in DL-Bibliotheken...

Stand der Dinge

Software zur Kombination von beliebigen PGMs mit KNN-Faktoren ist limitiert.

Danke,

Agnieszka Falańska, **Albert Gatt**, Alex Klenner, Alexander Bernhardt, Alexandra Balahur, Alin Roman, Amelie Heindl, Amelie Wüthl, **Anders Björkelund**, Anton Bakalov, Andreas Stöckel, Andreas Vlachos, **Andrew McCallum**, Angelika Weihermüller, Anna Moskvina, Antje Roszdeutscher, Antje Schweitzer, **Antje Wolf**, Arvind Tallam, Arif Ijaz, Axel Pichler, Aysoltan Gravina, Benjamin Paassen, Bernd Müller, Burak Tekin, **Camilo Thorne**, Carina Haupt, **Christian Ebeling**, **Christian Scheible**, Christian Witte, Christina Unger, **Christoph M. Friedrich**, Constantin Seibold, Cord Wiljes, **Corinna Klein geb. Kolarik**, David Helbig, **David Mimno**, Deniz Cevher, Edgar Hoch, Ekta Sood, Elias Zaied, Elnaz Shafaei Bajestan, **Engelbert Thun**, **Enrica Troiano**, Erenay Dayanik, Erfan Younesi, **Evgeny Kim**, Felix Casel, Florian Strohm, Fotis Aisopos, Frank Grimm, Franziska Schmidtke, Frederike Strunz, Gabriel Viehhauser, **Gabriella Lapesa**, Gerhard Kremer, Gianluigi Marra, **Greg Druck**, **Günter Rudolph**, Hai Dang Nguyen, Hanna Kicherer, Hanno Ehrlicher, Hans Kamp, **Hans Werner Müller**, Hanna Wallach, Harsha Gurulingappa, Heike Adel, Helen Vernon, Hendrik Schuff, Hendrik ter Horst, **Hildegard Klinger**, Horst Schwichtenberg, Iman Zeinali Nia, **Ingo Wegener**, Jan Hofmann, Jan Philipp Göpfert, Jan Wessling, **Janik Jaskolski**, Jasmin Zohren, Jennifer Ling, Jennifer Majunke, **Jeremy Barnes**, Johannes Butscher, Johannes Erwerle, Johannes Schäfer, John McCrae, John Wilbur, **Jonas Kuhn**, Jonathan Sonntag, Josef Ruppenhofer, Judith Gaspers, Julia Christoph, Julia Maria Struß, Julian Liedtke, **Juliane Fluck**, Kai Kumpf, **Kai Sassenberg**, Karl Kirschner, **Katharina Morik**, Katja Temnow, **Katrin Tomanek**, **Kenneth Kahl**, Kiril Atanassov, Konstantin Buschmeier, Larry Smith, Lars Buttgereit, Lars Hildebrand, Lars Vogel, **Laura Bostan**, Laura I. Furlong, Laura Dietz, Lawrence Hunter, **Lonneke van der Plas**, Luci Fillinger, Lujan Miquel, Lukas Grebe, Marc Jacobs geb. Zimmermann, Marcel Dittrich, **Marco Hülsmann**, Marietta Hamberger, Mariia Kashpur, Mario Sänger, Martin Hofmann-Apitius, Matthias Hartung, Maximilian Köper, Maximilian Panzner, Meike Knieps, Michael Bittner, Michael Griebel, Michael Krapp, Michael Roth, Michael Wiegand, **Michael Wick**, **Michal Jacovi**, Min Xu, Mohamad Alshaer, Naveen Kumar, **Nicole Brazda**, **Nils Reiter**, Nyamaasambuu, Oliver Beyer, Oliver Wäldrich, Omar Abada, Orphee De Clercq, Patrizia Paggio, Peter Menke, **Philipp Cimiano**, **Philipp Senger**, **Philippe Thomas**, Raphael Dickfelder, **Robert McHardy**, Robert Pesch, Robin Schiewer, Roozbeh Bandpey, Ruth Sander, **Sabine Dieterle**, Sabine Mohr, **Sabine Schulte im Walde**, **Saif Mohammad**, Sandra Murr, Sameer Singh, Sarah Schulz, **Sean Papay**, **Sebastian Pado**, **Sebastian Riedel**, Sebastian Walter, Sebastian Zepf, Serbay Ekinoglu, Sherzod Hakimov, Shu Xing, Shweta Bagewadi, **Simone Spicks**, **Simone Wessler**, Sina Brandstetter, Soufian Jebbara, **Stefan Edelkamp**, Stefanie Anstein, Steffen Eger, **Sumit Madan**, Surayya Samat Suyliya, **Tamara Bobic**, Tarek Kirchhoffer, **Theo Mevissen**, Thomas Haider, **Thomas Klinger**, Thomas Tibroni, **Tim Rocktäschel**, Timo Reuter, **Torsten Zesch**, **Ulf Leser**, Ulrich Heid, **Ulrich Trottenberg**, **Ursula Thun**, Uwe Reyle, Valentino Sabbatino, Verena Meyer, Veronica Estrada, Vivi Nastase, **Wiebke Klinger**, Wiltrud Kessler, Winfried Menninghaus, Wolfgang Ziegler, Xiang Yu, Yan Yang, Zhanruo Qu, Özlem Cetinoglu.

Danke für die
Aufmerksamkeit.
Gibt es Fragen?





Universität Stuttgart
Institut für
Maschinelle Sprachverarbeitung

Probabilistische Graphische Modelle in einer Neuronalen Welt

Wie können zwei Paradigmen vereint werden?

Mündliche Habilitationsleistung

17. Juli 2020

Roman Klinger
roman.klinger@ims.uni-stuttgart.de

 @roman_klinger  romanklinger
<http://www.romanklinger.de/>



